

**УДК 539.3**

© 1995 г. В. А. БАБЕШКО, М. В. ЧЕПИЛЬ

**О ПРИМЕНЕНИИ МЕТОДА ФАКТОРИЗАЦИИ  
ПРИ ИССЛЕДОВАНИИ ЗАДАЧ  
ГИДРОУПРУГОСТИ ОПРЕДЕЛЕННОГО ТИПА**

Динамические контактные задачи теории упругости вызывают постоянно растущий интерес у исследователей как у нас в стране, так и за рубежом. Это связано с развитием гидроакустики, сейсмологии, фундаментостроения, геофизики, с интенсивным освоением природных ресурсов Мирового океана и так далее. Использование новых конструкций с повышенными требованиями надежности и экономичности сооружений; расчеты поведения сооружений, подвергающихся динамическим (в частности, сейсмическим) воздействиям, обусловливают совершенствование имеющихся методов расчета с целью приближения к реальным условиям. Перечисленные проблемы заставляют рассматривать модели, представляющие собой системы слоев идеальной скимаемой жидкости или однородных упругих слоев с плоскопараллельными границами раздела, либо их комбинации.

Для решения задач механики твердого деформируемого тела со смешанными граничными условиями были применены такие аналитические методы, как метод факторизации, метод ортогональных полиномов и собственных функций, метод нормальных волн и интегральных преобразований, асимптотические методы и другие, дающие возможность получить решения интегральных уравнений I рода в явном виде и качественно его исследовать.

Сложность рассматриваемого класса задач заключается в необходимости рассмотрения интегральных уравнений с ядрами, обладающими как особенностями, так и осцилляцией, причем для полуограниченных сред требуется корректность формулировки для условий излучения на бесконечности. Краевые задачи в строгой математической постановке и единственность их решения были исследованы [1, 2, 4]<sup>1</sup>. В [5] приведены тщательные разработки методов исследования гидроупругих задач различного типа, направленные на выявление особенностей волновых процессов. В публикуемой работе аналитически и численно исследовано распределение контактных напряжений на границе «жидкость — упругая среда».

**1. Постановка задачи.** Рассмотрим упругое полупространство ( $-\infty \leq x_1, x_2 \leq \infty, -\infty \leq x_3 \leq 0$ ), на поверхности которого расположен объем жидкости ограниченных размеров ( $|x_1| \leq a, |x_2| \leq b, 0 \leq x_3 \leq h$ ), где  $h$  — высота. В некоторой удаленной от объема точке на поверхности упругой среды приложена сосредоточенная периодическая по времени сила  $p_0$ . Необходимо исследовать действие силы на распределение контактных напряжений.

Пусть положения точек определяются декартовыми координатами  $x_1, x_2, x_3$ , координатная плоскость  $x_3 = 0$  совпадает с поверхностью полупространства, начало координат совмещено с центром основания объема жидкости.

Перемещения  $\mathbf{U} = (u_1, u_2, u_3)$  точек упругой среды описываются дифференциальными уравнениями теории упругости (уравнениями Ламе):

$$(\lambda + \mu) \partial \theta / \partial x_i + \mu \Delta u_i = \rho \partial^2 u_i / (\partial t)^2 \quad (i = 1, 2, 3) \quad (1.1)$$

$$\theta = \operatorname{div} \mathbf{U}, \quad x_3 < 0$$

<sup>1</sup> См. также: М. В. Чепиль. Динамическая контактная задача для упругого полупространства при наличии ограниченного объема жидкости на его поверхности: Дис. канд. физ.-мат. наук: Ростов н/Д, 1991. 121 с.

при следующих граничных условиях:

$$\begin{aligned}\sigma_{33} &= \lambda\theta + 2\mu\partial u_3/\partial x_3 = q_1(x_1, x_2) e^{-i\omega t} \\ \sigma_{13} &= \mu(\partial u_1/\partial x_3 + \partial u_3/\partial x_1) = \tau_1(x_1, x_2) e^{-i\omega t} \\ \sigma_{23} &= \mu(\partial u_2/\partial x_3 + \partial u_3/\partial x_2) = \tau_2(x_1, x_2) e^{-i\omega t} \text{ при } x_3 = 0\end{aligned}\quad (1.2)$$

$\mathbf{U} \rightarrow 0$  при  $x_3 \rightarrow -\infty$

$$q_1(x_1, x_2) e^{-i\omega t} = \begin{cases} p_0 = -P_0 \delta(x_1 - x_{10}, x_2 - x_{20}) e^{-i\omega t}, & (x_{10}, x_{20}) = \Sigma_2 \\ q(x_1, x_2) e^{-i\omega t}, & |x_1| \leq a, |x_2| \leq b \\ 0, & (x_1, x_2) \in \Sigma: |x_1| > a \cup x_1 \neq x_{10}, |x_2| > b \cup x_2 \neq x_{20} \end{cases} \quad (1.3)$$

Здесь  $\rho, \lambda, \mu$  — плотность и коэффициенты Ламе упругой среды;  $q_1, \tau_1, \tau_2$  — нормальная и касательные составляющие вектора поверхностных напряжений;  $\sigma_i$  ( $i = 1, 2, 3$ ) — компоненты вектора напряжений среды;  $q(x_1, x_2)$  — неизвестное контактное давление,  $\delta(x_1 - x_{10}, x_2 - x_{20})$  — дельта-функция Дирака.

Движение точек объема жидкости (идеальной сжимаемой) описывается волновым уравнением относительно потенциала скоростей  $\phi(x_1, x_2, x_3, t)$ :

$$\Delta\phi = \frac{1}{c^2} \partial^2\phi / (\partial t)^2, \quad c^2 = \frac{1}{\rho_0 \beta_s}, \quad 0 \leq x_3 \leq h \quad (1.4)$$

с граничными условиями

$$\rho_0 \partial\phi / \partial t = 0, \quad x_3 = h, \quad |x_1| \leq a, \quad |x_2| \leq b \quad (1.5)$$

$$\rho_0 \partial\phi / \partial t = q(x_1, x_2) e^{-i\omega t}, \quad x_3 = 0, \quad |x_1| \leq a, \quad |x_2| \leq b \quad (1.6)$$

$$\partial\phi / \partial n_1 = 0, \quad |x_1| = a, \quad |x_2| \leq b, \quad 0 \leq x_3 \leq h \quad (1.7)$$

$$\partial\phi / \partial n_2 = 0, \quad |x_1| \leq a, \quad |x_2| = b, \quad 0 \leq x_3 \leq h \quad (1.8)$$

$$\partial u_3 / \partial t = -\partial\phi / \partial x_3, \quad x_3 = 0, \quad |x_1| \leq a, \quad |x_2| \leq b \quad (1.9)$$

Здесь  $\rho$  — плотность покоящейся жидкости,  $\beta_s$  — адиабатическая сжимаемость жидкости,  $c$  — скорость звука в жидкости,  $n_1, n_2$  — внешние нормали к боковым стенкам  $|x_1| = a, |x_2| = b$  соответственно.

Таким образом, исходная задача подразделена на две: для упругого полупространства и для объема жидкости.

После нахождения решения для каждой из подзадач с использованием условия равенства вертикальных составляющих скоростей для упругой среды и жидкости в области контакта (1.9) получено интегральное уравнение Фредгольма I рода относительно давления в области раздела упругой и акустической сред с учетом влияния нагрузки, приложенной на поверхности упругого полупространства:

$$\int_{-a}^a \int_{-b}^b q(t_1, t_2) \{ K_p(|x_1 - t_1|, |x_2 - t_2|) + K_s(|x_1 + t_1|, |x_2 + t_2|) \} dt_1 dt_2 = 4\pi^2 P(x_1, x_2) \quad (1.10)$$

$$\begin{aligned}K_p(|x_1 - t_1|, |x_2 - t_2|) &= \int_{-\infty}^{\infty} \int_{-\infty}^{\infty} K_{12}(\lambda_1, \lambda_2) \exp [-i(\lambda_1 |x_1 - t_1| + \lambda_2 |x_2 - t_2|)] d\lambda_1 d\lambda_2 \\ K_s(|x_1 + t_1|, |x_2 + t_2|) &= \frac{1}{4} \sum_{k,m=-\infty}^{\infty} \int_{-\infty}^{\infty} \int_{-\infty}^{\infty} K_{11}(\lambda_1, \lambda_2) \exp [-i(\lambda_1 |x_1 + t_1| + \lambda_2 |x_2 + t_2|)] d\lambda_1 d\lambda_2\end{aligned}$$

$$+ t_1 | + \lambda_2 | x_2 + t_2 |) \exp [i2(k\alpha\lambda_1 + m\beta\lambda_2)] d\lambda_1 d\lambda_2$$

$$P(x_1, x_2) = \int \int_{\Sigma_2} \delta(t_1 - x_{10}, t_2 - x_{20}) K(t_1 - x_1, t_2 - x_2) dt_1 dt_2$$

2. Переход к плоской задаче. Решение уравнения (1.10)  $q(t_i)$  принадлежит классу функций  $I(p)$ , где  $p > 1$  [1, 3, 4];  $I(p)$  — пространство суммируемых функций со степенью  $p$ .

В соотношении (1.10) функция ядра  $K_{11}(\lambda_1, \lambda_2)$  имеет нули, которые определяются решением уравнения

$$\operatorname{ch} \delta_{km} = 0 \Rightarrow \delta_{km} = \pm 1/2\pi(2n+1)i \quad (n = 0, 1, \dots) \quad (2.1)$$

и полюса

$$\operatorname{sh} \delta_{km} = 0 \Rightarrow \delta_{km} = \pm i\pi n \quad (n = 0, 1, \dots) \quad (2.2)$$

т. е. они равны [2]:

$$(x^2 - k_0^2)^{1/2} = \pm i\pi n \Rightarrow \alpha = i(\pi^2 n^2 - k_0^2)^{1/2} \quad (2.3)$$

Далее перейдем к рассмотрению плоской задачи. В этом случае если при  $k \neq 0$  вместо  $\lambda_i$  подставить значения корней  $\alpha$  (2.3), то будет замечено экспоненциальное убывание. Если же  $k = 0$ , то факт убывания отсутствует, поэтому указанный случай представляет интерес для исследования.

В полученном уравнении (1.10) при  $|\beta| \rightarrow \infty$  ( $\lambda_i \equiv \beta$ ):

$$\begin{aligned} K_{12}(\beta) &= \gamma/(\Delta_1 \pi^2), \quad K_{12}(\beta) \stackrel{|\beta| \rightarrow \infty}{\sim} 2(v-1)/(3\pi^2)/|\beta| \\ K_{11}(\beta) &= -\zeta/(4\pi^2 \Omega^4) \delta_0 \operatorname{ch} \delta_0 / \operatorname{sh} \delta_0 \\ K_{11}(\beta) &\stackrel{|\beta| \rightarrow \infty}{\sim} \zeta/(4\pi^2 \Omega^4) [|\beta| - 1/(2|\beta|)], \quad \delta_0 \equiv \delta_{km} \end{aligned} \quad (2.4)$$

Отличительной особенностью соотношения (1.10) является то обстоятельство, что ядро его зависит не только от разности, а также и от суммы аргументов. В этом случае единственность решения доказана на стр. 28.

3. Сведение к задаче Римана. К решению интегрального уравнения (1.10) применен метод, основанный на сведении к функциональным соотношениям и разрешаемых в свою очередь методом факторизации [4, 6]. На основании этого характера особенности и вид решения зависят от преобразования Фурье  $F(\beta)$  правой части. Таким образом, с помощью интегрального преобразования Фурье рассматриваемое интегральное уравнение (1.10) сведено к функциональному соотношению, в правой части которого присутствуют функционалы от неизвестных смещений вне области контакта, что заставляет модифицировать метод Винера — Хопфа [6], а именно:

$$K_1(\beta) Q(\beta) + K_2(\beta) Q(-\beta) = F(\beta) + F_1^-(\beta) e^{-\beta a} + F_2^+(\beta) e^{\beta a} \quad (3.1)$$

где  $Q(\beta)$ ,  $Q(-\beta)$ ,  $F(\beta)$  — преобразования Фурье от функции контактного давления и от правой части уравнения (1.10);  $K_1(\beta)$ ,  $K_2(\beta)$  — символы ядер  $K_p$ ,  $K_s$ ;  $F_1^-(\beta)$ ,  $F_2^+(\beta)$  — функционалы от неизвестных смещений вне области контакта слева и справа соответственно.

На основании известных теорем [6] функции  $F_1^-(\beta)$ ,  $F_2^+(\beta)$  являются аналитическими от комплексной переменной  $\beta = \tau + ik$  в нижней и верхней полуплоскости соответственно. С учетом четности функций  $K_1(\beta)$ ,  $K_2(\beta)$  соотношение (3.1) сведено к системе функциональных матричных уравнений

$$K_1(\beta) Q(\beta) + K_2(\beta) Q(-\beta) = F(\beta) + F_1^-(\beta) e^{-\beta a} + F_2^+(\beta) e^{\beta a} \quad (3.2)$$

$$K_1(\beta)Q(-\beta) + K_2(\beta)Q(\beta) = F(-\beta) + F_1^-(\beta)e^{\Phi\alpha} + F_2^+(\beta)e^{-\Phi\alpha}$$

которая с помощью дальнейших преобразований в свою очередь может быть сведена к матрично-функциональному уравнению:

$$AX^+ + B_1X^- = F \quad (3.3)$$

$$X^+(\beta) = \begin{vmatrix} Q^+(\beta) \\ S^+(\beta) \\ F_1^+(\beta) \\ F_2^+(\beta) \end{vmatrix}, X^-(\beta) = \begin{vmatrix} Q^-(\beta) \\ S^-(\beta) \\ F_1^-(\beta) \\ F_2^-(\beta) \end{vmatrix}, F(\beta) = \begin{vmatrix} F_+(\beta) \\ F_-(\beta) \\ F_+(-\beta) \\ F_-(-\beta) \end{vmatrix} \quad (3.4)$$

$$A = \begin{vmatrix} K_1 & K_2 & 0 & e^{-2\Phi\alpha} \\ 0 & 0 & -1 & 0 \\ K_2 & K_1 & -e^{-2\Phi\alpha} & 0 \\ 0 & 0 & -1 & 0 \end{vmatrix}, B_1 = \begin{vmatrix} 0 & 0 & -1 & 0 \\ K_1 & K_2 & -e^{-2\Phi\alpha} & 0 \\ 0 & 0 & 0 & -1 \\ K_2 & K_1 & 0 & -e^{-2\Phi\alpha} \end{vmatrix}$$

$$S^+(\beta) = Q(-\beta)e^{\Phi\alpha}, S^-(\beta) = Q(-\beta)e^{-\Phi\alpha}$$

Уравнение (3.3) может быть записано в ином виде:

$$GX^+ + X^- = B_1^{-1}F, G = B_1^{-1}A \quad (3.5)$$

определяющим краевую задачу Римана для вектор-функций  $X^+$ ,  $X^-$ , из которых затем отыскивается функция  $Q(\beta)$  через  $Q^+(\beta)$  либо через  $Q^-(\beta)$  соответственно.

**4. Решение задачи Римана.** Решение этой задачи связано с возможностью представления матриц в факторизованном виде [1, 4, 6]. В данный же момент, допуская существование и истинность возможных представлений, отметим, что элементы и определители матриц с положительными знаками-индексами должны быть регулярны выше контура интегрирования  $\sigma$  и непрерывны на нем (либо рассматривается верхняя полуплоскость, причем определители матриц должны быть отличны от нуля) [1, 4]. Аналогично для матриц с отрицательными знаками-индексами, причем рассматривается область ниже контура  $\sigma$ , либо нижняя полуплоскость. При этом элементы всех матриц в своих областях регулярности должны убывать. Контур интегрирования [4] выбирается в соответствии с принципом предельного поглощения, а именно: он совпадает с вещественной осью, обходя отрицательные полюса сверху, в положительные снизу. На основании изложенного получено, что

$$X^+(\beta) = G_+^{-1} \{G_-^{-1}B_1^{-1}F\}^+ \quad (4.1)$$

$$X^-(\beta) = -G_- \{G_-^{-1}B_1^{-1}F\}^- \quad (4.2)$$

Решение краевых задач Римана вида (4.1), (4.2) ищется в классе аналитических вектор-функций: убывающих в своих плоскостях регулярности с весом  $\beta^\lambda$ ,  $\lambda > 0$  (класс  $A(\lambda)$ ). Скобки со знаком плюс или минус означают интегралы по контурам  $\tau_-$  ( $\tau_+$ ), расположенным ниже (выше) вещественной оси или, что является более общим, ниже (выше) контура  $\sigma$ :

$$\{F\}^+ \equiv F_+(\alpha) = \frac{1}{2\pi i} \int_{\tau_-} \frac{F(s)}{s - \alpha} ds, \quad \text{Im } \alpha > \tau_-, \quad \alpha \in E_+ \quad (4.3)$$

$$\{F\}^- \equiv F_-(\alpha) = -\frac{1}{2\pi i} \int_{\tau_+} \frac{F(s)}{s - \alpha} ds, \quad \text{Im } \alpha < \tau_+, \quad \alpha \in E_-$$

Вектор-функции  $X^+$  и  $X^-$ , определенные выражениями (4.3), являются регулярными соответственно в верхней и нижней полуплоскостях, убывают там и непрерывны на контуре  $\sigma$ . Факт непрерывности, регулярности, убывания

рассматриваемых вектор-функций исследован в [2]. В отличие от краевых задач для изотропных сред наличие в ядре уравнения (1.10) члена, зависящего от суммы аргументов, нарушает свойство функциональной коммутативности при стремлении модуля аргумента на бесконечность для матриц в интегральных уравнениях, что усложняет математический аппарат.

Умножим рассматриваемую матрицу интегрального уравнения (1.10) слева и справа на матрицы специального вида, приходим к матрице диагонального вида, а затем возвращаемся к исходной, работая с обратными к соответствующим матрицами. Таким образом матрица  $K(\beta)$  факторизована

$$K_-(\beta) = \begin{vmatrix} [c_1/(2(B+i\beta))]^{1/2} - [c_2(B+i\beta)/2]^{1/2} & [c_1/(2(B+i\beta))]^{1/2} - [c_2(B+i\beta)/2]^{1/2} \\ [c_1/(2(B+i\beta))]^{1/2} + [c_2(B+i\beta)/2]^{1/2} & -[c_1/(2(B+i\beta))]^{1/2} - [c_2(B+i\beta)/2]^{1/2} \end{vmatrix} \quad (4.4)$$

$$K_+(\beta) = \begin{vmatrix} [c_1/(2(B-i\beta))]^{1/2} + [c_2(B-i\beta)/2]^{1/2} & [c_1/(2(B-i\beta))]^{1/2} - [c_2(B-i\beta)/2]^{1/2} \\ [c_1/(2(B-i\beta))]^{1/2} + [c_2(B-i\beta)/2]^{1/2} & -[c_1/(2(B-i\beta))]^{1/2} + [c_2(B-i\beta)/2]^{1/2} \end{vmatrix}$$

$$K(\beta) = K_-(\beta) K_+(\beta), \quad c_1, c_2, B - \text{const}$$

Дальнейшее исследование рассматриваемой краевой задачи сведено к проблеме факторизации матрицы-функции  $G(\beta)$ . Она осуществлена в несколько этапов по методике, изложенной в [2]. Ранее была проведена разработка указанного метода для матриц с экспонентами на диагонали<sup>2</sup> ( $\det C = -1$ ):

$$G^l(\beta) = C \times G(\beta) \equiv \begin{vmatrix} -e^{-2\beta a} & 0 \\ K(\beta) & e^{2\beta a} \end{vmatrix}, \quad C = \begin{vmatrix} 1 & 0 & 0 & 0 \\ 0 & 1 & 0 & 0 \\ 0 & 0 & 0 & 1 \\ 0 & 0 & 1 & 0 \end{vmatrix} \quad (4.5)$$

где  $C$  — матрица, позволяющая свести  $G(\beta)$  к указанному виду. В представлении (4.5) для  $G^l(\beta)$  выписана матрица, элементы которой являются блоками второго порядка.

Факторизация для матрицы  $G(\beta)$  и выкладки, необходимые для нахождения решения в виде (4.1), здесь опущены (подразумевается: вычисление интегралов при помощи теории вычетов с деформацией контуров интегрирования и их замыканием в верхнюю (нижнюю) полуплоскость, причем рассмотренные матрицы в (4.1) обладают конечным числом полюсов, следовательно, конечной будет и полученная система алгебраических уравнений).

**5. Исследование решения.** В результате получены системы для определения функций  $Q(\beta)$ ,  $Q(-\beta)$ ,  $F_1(\beta)$ ,  $F_2(\beta)$  в различных случаях приложения нагрузки. В частности, когда нагрузка находится слева от объема жидкости в точке  $x_0$ , получено

$$p = -i\beta, \quad -p^* = i\beta_k, \quad |\beta| \rightarrow \infty$$

$$\begin{aligned} Q(p) = \frac{\pi p_k}{i} \{ & \exp [-p^*(x_0 + a)] [-\exp [-3ap]/(c_2 i(p + \\ & + p^*) (\varepsilon^2 - p^2)^{1/2}) ((1 - c_1/(2c_3 + c_2(\varepsilon^2 - p^2))) + (1 + c_1/(2c_3 + \\ & + c_2(\varepsilon^2 - p^2)) (c_1^{1/2} + c_2^{1/2} + (B - p))/(c_1^{1/2} + c_2^{1/2}(B + p)) (c_1^{1/2} - \\ & - c_2^{1/2}(B + p))/(c_1^{1/2} - c_2^{1/2}(B - p))) + 2(B + p)^{1/2} \exp [ap]/(i(p + \\ & + p^*) (c_1^{1/2} + c_2^{1/2}(B + p))) ((B + p^*)^{1/2}/(c_1^{1/2} - c_2^{1/2}(B + p)) \} \end{aligned}$$

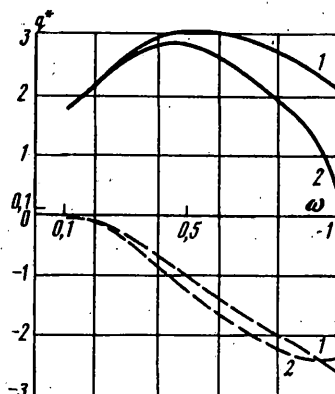
<sup>2</sup> См. также: В. А. Бабешко, А. В. Смирнова, М. В. Чепиль. Схема решения интегрального уравнения Фредгольма I рода одной гидроупругой задачи и исследование полученного решения. М., 1990. 32 с.— Деп. в ВИНИТИ. 31.10.90. № 5594-В90.

$$\begin{aligned}
& + p^*)) - (B - p)^{1/2}/(c_1^{1/2} - c_2^{1/2}(B - p))) \} + \exp [-p^*(x_0 - \\
& - a)] \exp [-ap] [1/(c_2 i(p + p^*)(\varepsilon^2 - p^2)^{1/2}) ((1 - \\
& - c_1/(2c_3 + c_2(\varepsilon^2 - p^2))) + (1 + c_1/(2c_3 + c_2(\varepsilon^2 - p^2))) (c_1^{1/2} + \\
& + c_2^{1/2}(B - p))/(c_1^{1/2} + c_2^{1/2}(B + p)) (c_1^{1/2} - c_2^{1/2}(B + p))/(c_1^{1/2} - \\
& - c_2^{1/2}(B - p)) + (B^2 - p^2)^{1/2}/(i(p - p^*)) (1/((c_1^{1/2} + \\
& + c_2^{1/2}(B - p)) (c_1^{1/2} - c_2^{1/2}(B + p))) - 1/((c_1^{1/2} + c_2^{1/2}(B + \\
& + p)) (c_1^{1/2} - c_2^{1/2}(B - p)))) \} \quad (5.1)
\end{aligned}$$

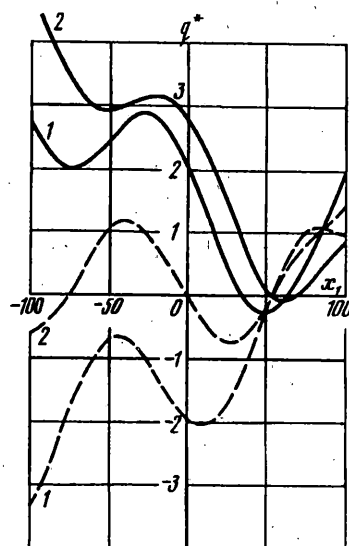
$$\begin{aligned}
Q(-p) = & \frac{\pi p_k}{i} \{ \exp [-p^*(x_0 + a)] [\exp [-3ap]/(c_2 i(p + p^*)(\varepsilon^2 - \\
& - p^2)^{1/2}) (-1 + c_1/(2c_3 + c_2(\varepsilon^2 - p^2))) (c_1^{1/2} - c_2^{1/2}(B - p))/(c_1^{1/2} - \\
& - c_2^{1/2}(B + p)) (c_1^{1/2} + c_2^{1/2}(B + p))/(c_1^{1/2} + c_2^{1/2}(B - p)) + (1 + c_1/(2c_3 + \\
& + c_2(\varepsilon^2 - p^2))) + 2(B + p)^{1/2} \exp [ap]/(c_1^{1/2} - c_2^{1/2}(B + p)) ((B - \\
& - p)^{1/2}/(c_1^{1/2} + c_2^{1/2}(B - p)) - (B - p^*)^{1/2}/(c_1^{1/2} + c_2^{1/2}(B - p^*))) \} + \\
& + \exp [-p^*(x_0 - a)] \exp [-ap] [1/(c_2 i(p + p^*)(\varepsilon^2 - p^2)^{1/2}) ((1 - \\
& - c_1/(2c_3 + c_2(\varepsilon^2 - p^2))) (c_1^{1/2} - c_2^{1/2}(B - p))/(c_1^{1/2} - c_2^{1/2}(B + \\
& + p)) (c_1^{1/2} + c_2^{1/2}(B + p))/(c_1^{1/2} + c_2^{1/2}(B - p)) - (1 + c_1/(2c_3 + \\
& + c_2(\varepsilon^2 - p^2))) + (B^2 - p^2)^{1/2}/(i(p - p^*)) ((c_1^{1/2} - c_2^{1/2}(B - \\
& - p))/(c_1^{1/2} + c_2^{1/2}(B + p)) + 1)/(c_1^{1/2} - c_2^{1/2}(B + p))/(c_1^{1/2} + \\
& + c_2^{1/2}(B - p)) - 2(B^2 - p^2)^{1/2}/(i(p - p^*)(c_1^{1/2} + c_2^{1/2}(B - \\
& - p)))/(c_1^{1/2} - c_2^{1/2}(B + p)) \} \quad (5.2)
\end{aligned}$$

$$\begin{aligned}
F_1(p) = & \frac{\pi p_k}{i} \{ \exp [-p^*(x_0 + a)] \exp [-pa]/(c_2(B^2 - p^2)^{1/2}(p + \\
& + p^*)i(\varepsilon^2 - p^2)^{1/2}) ((1 - c_1/(2c_3 + c_2(\varepsilon^2 - p^2))) (c_1^{1/2} - c_2^{1/2}(B - \\
& - p)) (c_1^{1/2} + c_2^{1/2}(B + p)) + (1 + c_1/(2c_3 + c_2(\varepsilon^2 - p^2))) (c_1^{1/2} + \\
& + c_2^{1/2}(B - p)) (c_1^{1/2} - c_2^{1/2}(B + p))) - \exp [-p^*(x_0 - a)] [1/(c_2(\varepsilon^2 - \\
& - p^2)^{1/2}(B^2 - p^2)^{1/2}i(p + p^*)) ((1 - c_1/(2c_3 + c_2(\varepsilon^2 - p^2))) (c_1^{1/2} - \\
& - c_2^{1/2}(B - p)) (c_1^{1/2} + c_2^{1/2}(B + p)) + (1 + c_1/(2c_3 + c_2(\varepsilon^2 - p^2))) (c_1^{1/2} + \\
& + c_2^{1/2}(B - p)) (c_1^{1/2} - c_2^{1/2}(B + p))) + 1/(i(p - p^*)) ((c_1^{1/2} - c_2^{1/2}(B - \\
& - p))/(c_1^{1/2} + c_2^{1/2}(B - p)) (c_1^{1/2} + c_2^{1/2}(B + p))/(c_1^{1/2} - c_2^{1/2}(B + p)) - 1)] \} \quad (5.3)
\end{aligned}$$

$$F_2(p) = \frac{\pi p_k}{i} \{ \exp [-p^*(x_0 + a)] \exp [-3pa]/(c_2 i(B^2 - p^2)^{1/2}(\varepsilon^2 -$$



Фиг. 1



Фиг. 2

$$\begin{aligned}
 & -p^2)^{1/2} (p + p^*) ((1 - c_1/(2c_3 + c_2(\varepsilon^2 - p^2))) (c_1^{1/2} - c_2^{1/2}(B - \\
 & -p)) (c_1^{1/2} + c_2^{1/2}(B + p)) - (1 + c_1/(2c_3 + c_2(\varepsilon^2 - p^2))) (c_1^{1/2} + \\
 & + c_2^{1/2}(B - p)) (c_1^{1/2} - c_2^{1/2}(B + p))) + \exp[-pa] \exp[-p^*(x_0 - \\
 & -a)] [-1/(ic_2(B^2 - p^2)^{1/2} (\varepsilon^2 - p^2)^{1/2} (p + p^*)) ((1 - c_1/(2c_3 + \\
 & + c_2(\varepsilon^2 - p^2))) (c_1^{1/2} - c_2^{1/2}(B - p)) (c_1^{1/2} + c_2^{1/2}(B + p)) + (1 + \\
 & + c_1/(2c_3 + c_2(\varepsilon^2 - p^2))) (c_1^{1/2} + c_2^{1/2}(B - p)) (c_1^{1/2} - c_2^{1/2}(B + p))) + \\
 & + 1/(i(p - p^*)) (1 - (c_1^{1/2} + c_2^{1/2}(B + p)) (c_1^{1/2} - c_2^{1/2}(B - p))/(c_1^{1/2} + \\
 & + c_2^{1/2}(B - p))/(c_1^{1/2} - c_2^{1/2}(B + p)))]] \quad (5.4)
 \end{aligned}$$

$$|\beta| \sim (\beta^2 + \varepsilon^2)^{1/2}, \quad \varepsilon \xrightarrow{|\beta| \rightarrow \infty} 0$$

$$|\beta|^+ = (\beta + ie)^{1/2}, \quad |\beta|^- = (\beta - ie)^{1/2}$$

Полученные аналитические выражения на бесконечности убывают, т. е. имеют следующую асимптотическую оценку (для нагрузки слева от объема):

$$Q(\beta) \xrightarrow{|\beta| \rightarrow \infty} k_1/\beta^2 + k_2/\beta^{3/2}, \quad Q(-\beta) \xrightarrow{|\beta| \rightarrow \infty} k_3/\beta^2 + k_4/\beta^{3/2} \quad (5.5)$$

$$F_1(\beta) \xrightarrow{|\beta| \rightarrow \infty} k_5/\beta, \quad F_2(\beta) \xrightarrow{|\beta| \rightarrow \infty} k_6/\beta^{1/2}, \quad k_i - \text{const} \quad (i = 1, 2, \dots, 6)$$

Таким образом, интеграл для нахождения контактных напряжений

$$q(t_1) = \frac{1}{2\pi} \int_{-\infty}^{+\infty} Q(\beta) \exp(-i\beta t_1) d\beta \quad (5.6)$$

является сходящимся для любого  $t_1 \in [-a, a]$ ,  $x_3 = 0$ .

Для вычисления  $q(t_1)$  применена теория вычетов, а для вычисления интегралов вида

$$\int_{-\infty}^{\infty} R \exp(-V^2) dV, \quad R \equiv R(V) \quad (5.7)$$

входящих в полученные с помощью теории вычетов выражения, используются квадратурные формулы гауссова типа, имеющие наивысший порядок точности для данного числа узлов [7].

В качестве упругой среды рассмотрены бетон и грунты двух типов, в качестве жидкой среды — вода.

Под  $q^*$  на фиг. 1, 2 подразумевается  $q^* = (P/h^2) q$ .

На фиг. 1 представлено поведение исследуемой функции при низких частотах ( $\omega = 0,1 \div 1$ ) посередине объема ( $x_1 = 0$ ), высота объема  $h = 10$  м; полуширина объема  $A^1 = 100$  м; в качестве упругой среды рассмотрен бетон; сплошной линией обозначена действительная часть функции  $q^*$ , штриховой — мнимая. Цифрой 1 отмечены кривые в случае, когда нагрузка приложена в точке  $x_0 = -2A^1$ ; цифрой 2 — при  $x_0 = -3A^1$ . На фиг. 2 в указанных обозначениях представлена зависимость давления от координаты  $x_1$  в области контакта при  $\omega = 10$  Гц,  $h = 20$  м,  $A^1 = 100$  м; в качестве упругой среды рассмотрен грунт.

#### СПИСОК ЛИТЕРАТУРЫ

1. Бабешко В. А., Глушков Е. В., Зинченко Ж. Ф. Динамика неоднородных линейно-упругих сред. М.: Наука, 1989. 344 с.
2. Бабешко В. А. Обобщенный метод факторизации в пространственных динамических смешанных задачах теории упругости. М.: Наука, 1984. 256 с.
3. Ворович И. И., Александров В. М., Бабешко В. А. Неклассические смешанные задачи теории упругости. М.: Наука, 1974. 455 с.
4. Ворович И. И., Бабешко В. А. Динамические смешанные задачи теории упругости для неклассических областей. М.: Наука, 1979. 320 с.
5. Сеймов В. М., Трофимчук А. Н., Савицкий О. А. Колебания и волны в слоистых средах. Киев: Наук. думка, 1990. 224 с.
6. Нобл Б. Метод Винера — Хопфа. М.: Изд-во ин. лит-ры, 1962. 279 с.
7. Крылов В. И., Шульгина Л. Т. Справочная книга по численному интегрированию. М.: Наука, 1966. 372 с.

Краснодар, Ростов-на-Дону

Поступила в редакцию  
2.III.1993